

DAFTAR PUSTAKA

- Abdalla, N., Ramady, H. E., Seliem, M. K., Mahrouk, M. E. E., Taha, N., Bayoumi, Y., Shalaby, T. A., dan Dobránszki, J. 2022. An Academic and Technical Overview on Plant Micropropagation Challenges. *Horticulturae*. 8(677): 1-28.
- Agius, C., von Tucher, S., Poppenberger, B., dan Rozhon, W. 2018. Quantification of sugars and organic acids in tomato fruits. *MethodsX*. 5: 537–550.
- Amalia, D. N., dan Ningsih, R. 2021. Strategi Pengembangan Marketing Mix dengan Analisis SWOT Pada Gerai Kopi Liberika di Kabupaten Tanjung Jabung Barat. *Jurnal AGRISEP: Kajian Masalah Sosial Ekonomi Pertanian dan Agribisnis*. 20(2): 421–441.
- Asghar, S., Ghori, N., Hyat, F., Li, Y., dan Chen, C. 2022. Use of Auxin and Cytokinin for Somatic Embryogenesis in Plant: A story From Competence Towards Completion. *Plant Growth Regulation*. 99(3): 413–428.
- Awada, R., Campa, C., Gibault, E., Déchamp, E., Georget, F., Lepelley, M., Abdallah, C., Erban, A., Seidel, F. M., Kopka, J., Legendre, M., Léran, S., Conéjero, G., Verdeil, J., Crouzzilat, D., Breton, D., Bertrand, B., dan Etienne, H. 2019. Unravelling the Metabolic and Hormonal Machinery During Key Steps of Somatic Embryogenesis: A Case Study In Coffee. *International Journal of Molecular Sciences*. 20(19): 1-29.
- Baday, S. J. S. 2018. In Vitro Study of The Callus Induction of Two Varieties of Wheat Seeds by Plant Growth Regulators. *Biochemical and Cellular Archives*. 18(2): 2067–2071.
- Bogdanović, M. D., Ćuković, K. B., Subotić, A. R., Dragičević, M. B., Simonović, A. D., Filipović, B. K., dan Todorović, S. I. 2021. Secondary Somatic Embryogenesis in *Centaureum erythraea* rafn. *Plants*. 10(2): 1-20.
- Dahiya, S., Kumar, S., Khedwal, R. S., dan Jakhar, S. R. 2017. Allelopathy for sustainable weed management. *Journal of Pharmacognosy and Phytochemistry*. 6(6): 832-837.
- Damayanti, P., Latunra, A. I., dan Johanes, E. 2021. Embryogenic Callus Induction of Todolo Toraja Coffee Leaf Cells (*Coffea arabica* Var. Typica) with the Addition of 2,4-Dichlorophenoxyacetic Acid (2,4-D) and Furfurylaminopurine (Kinetin) in Vitro. *IOP Conference Series: Earth and Environmental Science*. 755(1): 1-6.

- Dewi, S., Zain, A. M., Bakri, S., dan Kadir, A.R. 2020. Development Strategy of Bontolojong Turatea Coffee (Case Study CV Bontolojong in the Ujung Bulu Village Rumbia District Jeneponto Regency). *IOP Conference Series: Earth and Environmental Science*. 575(1): 1-9.
- Dewi, L. K., Nurcahyani, E., Lande, M. L. 2021. Efek Pemberian Ekstrak Tomat (*Solanum lycopersicum* L.) Terhadap Kandungan Karbohidrat dan Pertumbuhan Planlet Anggrek *Dendrobium striaenopsis*. *Journal of Agricultural Science*. 19(1): 67-73.
- Ferrão, L. F. V., Caixeta, E. T., Souza, F. D. F., Zambolim, E. M., Cruz, C. D., Zambolim, L., dan Sakiyama, N. S. 2013. Comparative Study of Different Molecular Markers for Classifying and Establishing Genetic Relationships in *Coffea canephora*. *Plant systematics and evolution*. 299: 225-238.
- Ferreira, T., Shuler, J., Guimarães, R., dan Farah, A. 2019. *Introduction to Coffee Plant and Genetics*. 1: 1–25.
- Fitria, A. 2020. *Induksi dan Perkembangan Embrio Somatik Kopi Liberika (C. liberica) pada Beberapa Perlakuan Zat Pengatur Tumbuh*. (Doctoral dissertation, Universitas Airlangga).
- Fitriana, D., Prihastanti, E., Nurchayati, Y., dan Hastuti, R. B. 2019. Effect of Combination Explant Difference Leaf Part and Concentration of Active Charcoal on Callus Initiation Mangrove (*Rhizophora apiculata* BI) by in-vitro. *Journal of Physics: Conference Series*. 1217(1): 1–7.
- Fitroh, A. I., Dwiyani, R., Wijaya, I. K. A., dan Yuswanti, H. 2018. Pengaruh 2,4-D terhadap Induksi Kalus Daun Stroberi (*Fragaria* sp.) dengan Media Alternatif Nutrisi Hidroponik AB Mix. *Jurnal Agroekoteknologi Tropika*. 7(3): 304–315.
- Gruita, A., Pojoga, M. D., Constantin, N., dan Duta-Cornescu, G. 2019. Genetic Engineering in Coffee. *Caffeinated and Cocoa Based Beverages*. 447–488. Elsevier.
- Habibah, N. A., Rahayu, E. S., dan Anggraito, Y. U. 2021. *Buku Ajar Kultur Jaringan Tumbuhan*. Deepublish.
- Hapsoro, D., Setiawan, D., Hamiranti, R., dan Yusnita. 2019. Pengaruh 2-iP, BA, 2,4-D, dan TDZ pada Embriogenesis Somatik in vitro Kopi Robusta Unggul Lampung. *Jurnal Agrotek Tropika*. 7(3): 527–537.
- Helena, A., Restiani, R., dan Aditiyarini, D. 2022. Optimasi Antioksidan sebagai Penghambat Browning pada Tahap Inisiasi Kultur In Vitro Bambu Petung

(*Dendrocalamus asper*). *Biota: Jurnal Ilmiah Ilmu-Ilmu Hayati.* 7(2): 86–93.

Heriansyah, P., dan Indrawanis, E. 2020. Uji Tingkat Kontaminasi Eksplan Anggrek *Bromheadia finlysoniana* L.miq Dalam Kultur In-Vitro Dengan Penambahan Ekstrak Tomat. *Jurnal Agroqua: Media Informasi Agronomi dan Budidaya Perairan.* 18(2): 223-232.

Ibrahim, M. S. D., dan Hartati, R. R. S. 2017. Peningkatan Induksi Kalus Embriogenik dan Konversi Embrio Somatik Kopi Robusta Klon BP 308. *Jurnal Tanaman Industri dan Penyegar.* 4(3): 121–132.

Ibrahim, M. S. D., Randriani, E., Sari, L., dan Nuraini, A. 2019. Radiosensitivitas Kalus Embriogenik Kopi Robusta Bp 436 Terhadap Iradiasi Sinar Gamma. *Jurnal Tanaman Industri dan Penyegar.* 6(1): 41–50.

Irothul, N. A., dan Amilah, S. 2019. Aplikasi ZPT Alami Bawang Merah Dan Daun Kelor Terhadap Produktivitas Tanaman Tomat (*Solanum lycopersicum*). *Prosiding Semnas Biologi.* 18–26.

Junairiah, Sofiana, D. A., Manuhara, Y. S. W., dan Surahmaida. 2018. Induksi Kalus *Piper retrofractum* Vahl. Dengan Zat Pengatur Tumbuh Auksin dan Sitokinin. *Journal of Pharmacy and Science.* 3(2): 41–46.

Kurniahu, H., Sriwulan, dan Andriani, R. 2017. Proses Pembibitan Jahe Merah (*Zingiber officinale* Var. Rubra) Menggunakan PGPR (Plant Growth Promoting Rhizobacteria). *Prosiding SNasPPM.* 2: 43–46.

Leovici, H., dan Kastono, D. 2014. Pengaruh Macam Dan Konsentrasi Bahan Organik Sumber Zat Pengatur Tumbuh Alami Terhadap Pertumbuhan Awal Tebu (*Saccharum officinarum L.*). *Vegetalika.* 3(1): 22–34.

Lim, T. K. 2013. *Edible Medicinal and Non-Medicinal Plants.* Springer.

Livramento, K. G., Torres, L. F., Barbosa, F. V., Andrade, J. de C., Livramento, D. E., dan Paiva, L. V. 2018. Influence of 2,4-D Growth Regulator and Foliar Explant Source on *Coffea arabica* Embryogenic Calli. *Journal of Experimental Agriculture International.* 21(3): 1–9.

Lizawati, L., Zulkarnain, Z., dan Neliyati, N. 2020. In Vitro Callus Development on Immature Leaf Explants of Liberica Coffee (*Coffea liberica* L. cv. Liberika Tungkal Komposit) by the Application of 2.4-D and BAP. *Biogenesis: Jurnal Ilmiah Biologi,* 8(2): 111-118.

- Navarro, M., dan Munné-Bosch, S. 2022. Reduced Phosphate Availability Improves Tomato Quality Through Hormonal Modulation in Developing Fruits. *Journal of Plant Growth Regulation*. 41: 153–162.
- Ningsih, P. G., dan Nurcahyani, E. 2019. Efektivitas Ekstrak Tomat (*Solanum lycopersicum* L.) Pada Medium Murashige & Skoog (MS) Terhadap Pertumbuhan Planlet Krisan (*Chrysanthemum morifolium* Ramat) Kultivar Socakawani Secara in vitro. *Jurnal Biologi Eksperimen dan Keanekekagaman Hayati*. 1(1): 1-10.
- Nour, V., Panaite, T. D., Ropota, M., Turcu, R., Trandafir, I., dan Corbu, A. R. 2018. Nutritional and Bioactive Compounds in Dried Tomato Processing Waste. *CyTA-Journal of Food*. 16(1): 222–229.
- Puslitkoka. 2016. *Kopi: Sejarah, Botani, Proses Produksi, Pengolahan, Produk Hilir, dan Sistem Kemitraan*. Gadjah Mada University Press.
- Rismayanti, A. Y., dan Nafi'ah, H. H. 2021. Modifikasi Media Pada Induksi Kalus Kopi Arabika (*Coffea arabica* L.) Berbuah Kuning. *Agro Wiralodra*. 4(2): 42–49.
- Rugayah, Suherni, D., Ginting, Y. C., dan Karyanto, A. 2021. The Effect of Shallot and Tomato Extract Concentrations on the Growth of Mangosteen Seedling (*Garcinia mangostana* L.). *Jurnal Hortikultura Indonesia*. 12(1): 42–50.
- Sakiroh, dan Ibrahim, M. S. D. 2020. Karakterisasi Morfologi, Anatomi, dan Fisiologi Tujuh Klon Unggul Kopi Robusta. *Jurnal Tanaman Industri dan Penyegar*. 7(2): 73-82.
- Sari, R., Paserang, A. P., Pitopang, R., dan Suwastika, I. N. 2019. Induksi Kalus Tanaman Kentang Dombu (*Solanum tuberosum* L.) Secara in vitro dengan Penambahan Ekstrak Tomat dan Air Kelapa. *Natural Science: Journal of Science and Technology*. 8(1): 20–27.
- Serliana, M., Mukarlina, dan Linda, R. 2019. Pertumbuhan Anggrek Hitam (*Coelogyne pandurata* Lindl.) secara In Vitro Dengan Penambahan Ekstrak Tomat (*Solanum lycopersicum* L) Dan Benzyl Amino Purine (BAP). *Jurnal Protobiont*. 6(3): 310-315.
- Surma, S., dan Oparil, S. 2021. Coffee and Arterial Hypertension. *Current Hypertension Reports*. 23(7): 38–49.
- Syahid, S. F., Kristina, N.N., dan Seswita, D. 2020. Pengaruh Komposisi Media Terhadap Pertumbuhan Kalus dan Kadar Tannin dari Daun Jati Belanda (*Guazuma ulmifolia* Lamk) Secara In Vitro. *Jurnal Penelitian Tanaman Industri*. 16(1): 1-5.

- Tjitroesoepomo, G. 2002. *Taksonomi Tumbuhan Spermatophyta*. Gadjah Mada University Press.
- Ulva, M., Nurchayati, Y., Prihastanti, E., dan Setiari, N. 2019. Pertumbuhan Kalus Tomat (*Lycopersicon esculentum* Mill.) Varietas Permata F1 dari Jenis Eksplan dan Konsentrasi Sukrosa yang Berbeda secara In Vitro. *Life Science*. 8(2): 160-169.
- Velásquez, S., dan Banchón, C. 2022. Influence of Pre-and Post-Harvest Factors on the Organoleptic and Physicochemical Quality of Coffee: A short review. *Journal of Food Science and Technology*. 1–13.
- Yulianti, Y., Aisyah, S. I., dan Sukma, D. 2016. Pengaruh Bahan Organik Nabati dan Hewani Terhadap Pertumbuhan Protocorm Like Bodies *Phalaenopsis amabilis* (L.) blume. *Jurnal Hortikultura Indonesia*. 7(3): 176-186.
- Zulfitra, R., Gustian, & Satria, B. 2018) Induksi Kalus Embriogenik Kopi Arabika (*Coffea arabica* L.) Secara in vitro. *Prosiding Seminar Nasional Perhimpunan Ilmu Pemuliaan Indonesia*. 404–412.

LAMPIRAN

Lampiran 1. Pembuatan Larutan Stok 2,4 Dichlorophenoxyacetic Acid

- Pembuatan larutan stok L-Metionin 1000 ppm dalam 100 mL

$$\begin{aligned} M_1 \times V_1 &= M_2 \times V_2 \\ M_1 \times 1000 \text{ ml} &= 1000 \text{ ppm} \times 100 \text{ ml} \\ M_1 &= \frac{1000 \text{ ppm} \times 100 \text{ ml}}{1000 \text{ ml}} \\ M_1 &= 100 \text{ mg} = 0,1 \text{ gr} \end{aligned}$$

Lampiran 2. Perhitungan Pengambilan 2,4 Dichlorophenoxyacetic Acid dalam Larutan Stok

- 2,4 Dichlorophenoxyacetic acid konsentrasi 1 ppm

$$\begin{aligned} M_1 \times V_1 &= M_2 \times V_2 \\ 1000 \text{ ppm} \times V_1 &= 1 \text{ ppm} \times 250 \text{ ml} \\ V_1 &= \frac{1 \text{ ppm} \times 250 \text{ ml}}{1000 \text{ ppm}} \\ V_1 &= 0,25 \text{ ml} \end{aligned}$$

- 2,4 Dichlorophenoxyacetic acid konsentrasi 2 ppm

$$\begin{aligned} M_1 \times V_1 &= M_2 \times V_2 \\ 1000 \text{ ppm} \times V_1 &= 2 \text{ ppm} \times 250 \text{ ml} \\ V_1 &= \frac{2 \text{ ppm} \times 250 \text{ ml}}{1000 \text{ ppm}} \\ V_1 &= 0,5 \text{ ml} \end{aligned}$$

- 2,4 Dichlorophenoxyacetic acid konsentrasi 3 ppm

$$\begin{aligned} M_1 \times V_1 &= M_2 \times V_2 \\ 1000 \text{ ppm} \times V_1 &= 3 \text{ ppm} \times 250 \text{ ml} \\ V_1 &= \frac{3 \text{ ppm} \times 250 \text{ ml}}{1000 \text{ ppm}} \\ V_1 &= 0,75 \text{ ml} \end{aligned}$$

Lampiran 3. Perhitungan Pengambilan Ekstrak Tomat dalam Larutan Stok

- Ekstrak Tomat Konsentrasi 7,5%

$$M_1 \times V_1 = M_2 \times V_2$$

$$100\% \times V_1 = 7,5\% \times 250 \text{ ml}$$

$$V_1 = \frac{7,5\% \times 250 \text{ ml}}{100 \%}$$

$$V_1 = 18,75 \text{ ml}$$

- Ekstrak Tomat Konsentrasi 10 %

$$M_1 \times V_1 = M_2 \times V_2$$

$$100\% \times V_1 = 10\% \times 250 \text{ ml}$$

$$V_1 = \frac{10\% \times 250 \text{ ml}}{100 \%}$$

$$V_1 = 25 \text{ ml}$$

- Ekstrak Tomat Konsentrasi 12,5%

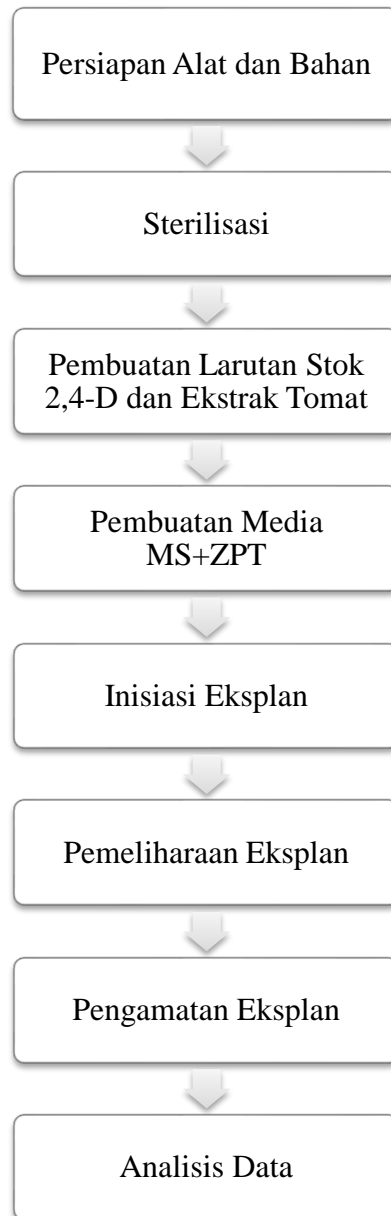
$$M_1 \times V_1 = M_2 \times V_2$$

$$100\% \times V_1 = 12,5\% \times 250 \text{ ml}$$

$$V_1 = \frac{12,5\% \times 250 \text{ ml}}{100 \%}$$

$$V_1 = 31,25 \text{ ml}$$

Lampiran 4. Skema Kerja



Lampiran 5. Pengambilan Sampel Kopi Robusta *Coffea canephora*



Pengambilan Sampel Kopi Robusta

Lampiran 6. Sterilisasi

1. Sterilisasi Alat dan Bahan Menggunakan Autoklaf



Sterilisasi Alat



Sterilisasi Bahan

2. Sterilisasi Ruang Kerja (LAF/Laminar Air Flow)



Penyemprotan dengan alkohol



Sterilisasi dengan sinar UV

Lampiran 7. Pembuatan Larutan Stok

1. Pembuatan Larutan Stok Ekstrak Tomat



Penimbangan Tomat



Pencucian Tomat



Pemotongan Tomat



Penghalusan Tomat



Penyaringan ekstrak tomat



Ekstrak Tomat 100%

2. Pembuatan Larutan Stok 2,4-Dichlorophenoxyacetic acid



Penimbangan hormon 2,4-D



Hormon 2,4-D 1000 ppm

Lampiran 8. Prosedur Pembuatan Media

1. Pembuatan Media MS



Penimbangan 4,43 g MS



Penimbangan 30 g gula



Penambahan 7 g agar



Penambahan 1 L akuades



Penghomogenan media



Pemindahan ke botol kultur



Sterilisasi Media



Penyimpanan di ruang kultur

2. Pembuatan Media MS +Ekstrak Tomat



Penimbangan 4,43 g MS



Penimbangan 30 g gula



Penambahan 7 g agar



Penambahan 1 L akuades



Penambahan ekstrak tomat



Penghomogenan media



Pemindahan ke botol kultur



Sterilisasi Media



Penyimpanan di ruang kultur

3. Pembuatan Media MS + 2,4 dichlorophenoxyacetic acid



Penimbangan 4,43 g MS



Penimbangan 30 g gula



Penambahan 7 g agar



Penambahan 1 L akuades



Penambahan larutan stok 2,4-d



Penghomogenan media



Pemindahan ke botol kultur



Sterilisasi Media



Penyimpanan di ruang kultur

4. Pembuatan Media MS + 2,4 dichlorophenoxyacetic acid + Ekstrak Tomat



Penimbangan 4,43 g MS



Penimbangan 30 g gula



Penambahan 7 g agar



Penambahan 1 L akuades



Penambahan ekstrak tomat



Penambahan larutan stok 2,4-D



Penghomogenan media



Pemindahan ke botol kultur



Sterilisasi Media



Penyimpanan di ruang kultur

Lampiran 9. Inisiasi Eksplan Daun Kopi Robusta *Coffea canephora* L.

1. Sterilisasi Eksplan Daun Kopi Robusta *Coffea canephora* L.



Pencucian daun kopi robusta



Pengocokan di larutan Dithane M-45



Perendaman di alkohol 70%



Perendaman di klorin

2. Penanaman Eksplan Daun Kopi Robusta *Coffea canephora* L.



Pemotongan daun kopi



Penanaman eksplan ke media



Perekatan dengan *clingwrap*



Pemasangan label

Lampiran 10. Pemeliharaan Eksplan Kopi Robusta *Coffea canephora* L.



Peletakan botol berisi eksplan pada rak kultur



Inkubasi pada ruang gelap selama 60 hari

Lampiran 11. Pengamatan Eksplan Kopi Robusta *Coffea canephora* L.



Pengamatan kalus pada eksplan



Pengamatan berat basah kalus

Lampiran 12. Hasil Pengamatan Kalus Kopi Robusta *Coffea canephora* L.

T₀D₁
(2,4-D 1 ppm)



T₀D₂
(2,4-D 2 ppm)



T₀D₃
(2,4-D 3 ppm)



T₁D₁
(Ekstrak tomat 10% dan 2,4-D 1 ppm)



T₂D₁
(Ekstrak tomat 10% dan 2,4-D 1 ppm)



T₂D₂
(Ekstrak tomat 10% dan 2,4-D 2 ppm)



T₂D₃
(Ekstrak tomat 10% dan 2,4-D 3 ppm)



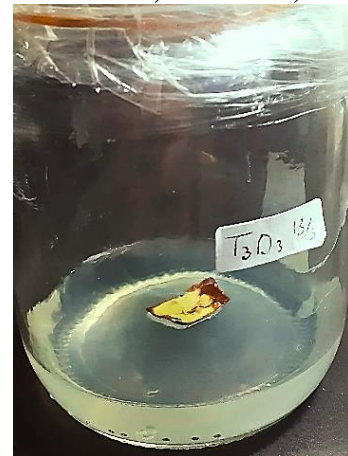
T₃D₁
(Ekstrak tomat 12,5% dan 2,4-D 1 ppm)



T₃D₂
(Ekstrak tomat 12,5% dan 2,4-D 2 ppm)



T₃D₃
(Ekstrak tomat 12,5% dan 2,4-D 3 ppm)



Lampiran 13. Data Hasil Pengamatan Persentase Pembentukan Kalus

Perlakuan	Ulangan			Total	Persentase (%)
	I	II	III		
T ₀ D ₀	0	0	0	0	0,0
T ₀ D ₁	1	1	0	2	66,7
T ₀ D ₂	1	1	1	3	100,0
T ₀ D ₃	1	1	1	3	100,0
T ₁ D ₀	0	0	0	0	0,0
T ₁ D ₁	1	0	0	1	33,3
T ₁ D ₂	0	0	0	0	0,0
T ₁ D ₃	0	0	0	0	0,0
T ₂ D ₀	0	0	0	0	0,0
T ₂ D ₁	1	1	1	3	100,0
T ₂ D ₂	1	1	1	3	100,0
T ₂ D ₃	1	1	1	3	100,0
T ₃ D ₀	0	0	0	0	0,0
T ₃ D ₁	1	0	0	1	33,3
T ₃ D ₂	1	0	0	1	33,3
T ₃ D ₃	1	0	0	1	33,3

Keterangan:

1 = Tumbuh Kalus

0 = Tidak Tumbuh Kalus

$$\text{Persentase kultur yang berkalus} = \frac{\text{jumlah eksplan yang berkalus}}{\text{jumlah eksplan seluruh perlakuan}} \times 100\%$$

$$\text{Persentase kultur yang tidak berkalus} = \frac{\text{jumlah eksplan yang tidak berkalus}}{\text{jumlah eksplan seluruh perlakuan}} \times 100\%$$

Lampiran 14. Tabel Uji Normalitas dan Homogenitas pada Persentase Pembentukan Kalus

1.Uji Normalitas

Tests of Normality

	Kolmogorov-Smirnov ^a			Shapiro-Wilk		
	Statistic	Df	Sig.	Statistic	Df	Sig.
Persentase Tumbuh (%)	,371	48	,000	,631	48	,000

2. Uji Homogenitas

Test of Homogeneity of Variances

Persentase Tumbuh (%)

Levene Statistic	df1	df2	Sig.
11,733	15	32	,000

Lampiran 15. Tabel Uji Kruskal-Wallis dan Uji Mann Whitney pada Persentase Pembentukan Kalus

1. Uji Kruskal-Wallis pada Persentase Pembentukan Kalus

Test Statistics^{a,b}

	Persentase Tumbuh (%)
Chi-Square	36,483
Df	15

Asymp. Sig.

,002

2. Uji Mann-Whitney pada Persentase Pembentukan Kalus

Perlakuan	Sig.
T _{0D₀} : T _{0D₁}	0,114
T _{0D₀} : T _{0D₂}	0,025
T _{0D₀} : T _{0D₃}	0,025
T _{0D₀} : T _{1D₀}	1,000
T _{0D₀} : T _{1D₁}	0,317
T _{0D₀} : T _{1D₂}	1,000
T _{0D₀} : T _{1D₃}	1,000
T _{0D₀} : T _{2D₀}	1,000
T _{0D₀} : T _{2D₁}	0,025
T _{0D₀} : T _{2D₂}	0,025
T _{0D₀} : T _{2D₃}	0,025
T _{0D₀} : T _{3D₀}	1,000
T _{0D₀} : T _{3D₁}	0,317
T _{0D₀} : T _{3D₂}	0,317
T _{0D₀} : T _{3D₃}	0,317
T _{0D₁} : T _{0D₂}	0,317
T _{0D₁} : T _{0D₃}	0,317
T _{0D₁} : T _{1D₀}	0,025
T _{0D₁} : T _{1D₁}	0,456
T _{0D₁} : T _{1D₂}	0,025
T _{0D₁} : T _{1D₃}	0,025
T _{0D₁} : T _{2D₀}	0,025
T _{0D₁} : T _{2D₁}	0,317
T _{0D₁} : T _{2D₂}	0,317
T _{0D₁} : T _{2D₃}	0,317
T _{0D₁} : T _{3D₀}	0,025
T _{0D₁} : T _{3D₁}	0,456
T _{0D₁} : T _{3D₂}	0,456
T _{0D₁} : T _{3D₃}	0,456
T _{0D₂} : T _{0D₃}	1,000
T _{0D₂} : T _{1D₀}	0,025
T _{0D₂} : T _{1D₁}	0,037
T _{0D₂} : T _{1D₂}	0,025
T _{0D₂} : T _{1D₃}	0,025
T _{0D₂} : T _{2D₀}	0,025
T _{0D₂} : T _{2D₁}	1,000
T _{0D₂} : T _{2D₂}	1,000
T _{0D₂} : T _{2D₃}	1,000
T _{0D₂} : T _{3D₀}	0,025

Perlakuan	Sig.
T _{0D₂} : T _{3D₁}	0,114
Perlakuan	Sig.
T _{0D₂} : T _{3D₂}	0,114
T _{0D₂} : T _{3D₃}	0,114
T _{0D₃} : T _{1D₀}	0,025
T _{0D₃} : T _{1D₁}	0,037
T _{0D₃} : T _{1D₂}	0,025
T _{0D₃} : T _{1D₃}	0,025
T _{0D₃} : T _{2D₀}	0,025
T _{0D₃} : T _{2D₁}	1,000
T _{0D₃} : T _{2D₂}	1,000
T _{0D₃} : T _{2D₃}	1,000
T _{0D₃} : T _{3D₀}	0,025
T _{0D₃} : T _{3D₁}	0,114
T _{0D₃} : T _{3D₂}	0,114
T _{0D₃} : T _{3D₃}	0,114
T _{1D₀} : T _{1D₁}	0,317
T _{1D₀} : T _{1D₂}	0,317
T _{1D₀} : T _{1D₃}	0,317
T _{1D₀} : T _{2D₀}	0,317
T _{1D₀} : T _{2D₁}	0,317
T _{1D₀} : T _{2D₂}	0,317
T _{1D₀} : T _{2D₃}	0,317
T _{1D₀} : T _{3D₀}	0,317
T _{1D₀} : T _{3D₁}	0,317
T _{1D₀} : T _{3D₂}	0,317
T _{1D₀} : T _{3D₃}	0,317
T _{1D₁} : T _{1D₂}	0,317
T _{1D₁} : T _{1D₃}	0,317
T _{1D₁} : T _{2D₀}	0,317
T _{1D₁} : T _{2D₁}	0,317
T _{1D₁} : T _{2D₂}	0,317
T _{1D₁} : T _{2D₃}	0,317
T _{1D₁} : T _{3D₀}	0,317
T _{1D₁} : T _{3D₁}	0,317
T _{1D₁} : T _{3D₂}	0,317
T _{1D₁} : T _{3D₃}	0,317
T _{1D₂} : T _{1D₃}	0,317
T _{1D₂} : T _{2D₀}	0,317
T _{1D₂} : T _{2D₁}	0,317
T _{1D₂} : T _{2D₂}	0,317
T _{1D₂} : T _{2D₃}	0,317
T _{1D₂} : T _{3D₀}	0,317
T _{1D₂} : T _{3D₁}	0,317
T _{1D₂} : T _{3D₂}	0,317
T _{1D₂} : T _{3D₃}	0,317
T _{1D₃} : T _{2D₀}	0,317
T _{1D₃} : T _{2D₁}	0,317
T _{1D₃} : T _{2D₂}	0,317
T _{1D₃} : T _{2D₃}	0,317
T _{1D₃} : T _{3D₀}	0,317
T _{1D₃} : T _{3D₁}	0,317
T _{1D₃} : T _{3D₂}	0,317
T _{1D₃} : T _{3D₃}	0,317
T _{2D₀} : T _{2D₁}	1,000
T _{2D₀} : T _{2D₂}	0,025
T _{2D₀} : T _{2D₃}	0,025
T _{2D₀} : T _{3D₀}	1,000
T _{2D₀} : T _{3D₁}	0,317
T _{2D₀} : T _{3D₂}	0,317
T _{2D₀} : T _{3D₃}	0,317
T _{2D₁} : T _{2D₂}	1,000
T _{2D₁} : T _{2D₃}	0,025
T _{2D₁} : T _{3D₀}	1,000
T _{2D₁} : T _{3D₁}	0,317
T _{2D₁} : T _{3D₂}	0,317
T _{2D₁} : T _{3D₃}	0,317
T _{2D₂} : T _{2D₃}	1,000
T _{2D₂} : T _{3D₀}	0,025
T _{2D₂} : T _{3D₁}	0,317
T _{2D₂} : T _{3D₂}	0,317
T _{2D₂} : T _{3D₃}	0,317
T _{2D₃} : T _{3D₀}	0,317
T _{2D₃} : T _{3D₁}	0,317
T _{2D₃} : T _{3D₂}	0,317
T _{2D₃} : T _{3D₃}	0,317
T _{3D₀} : T _{3D₁}	0,317
T _{3D₀} : T _{3D₂}	0,317
T _{3D₀} : T _{3D₃}	0,317

Perlakuan	Sig.
T _{1D₂} : T _{2D₂}	0,025
T _{1D₂} : T _{2D₃}	0,025
Perlakuan	Sig.
T _{1D₂} : T _{3D₀}	1,000
T _{1D₂} : T _{3D₁}	0,317
T _{1D₂} : T _{3D₂}	0,317
T _{1D₂} : T _{3D₃}	0,317
T _{1D₃} : T _{2D₀}	1,000
T _{1D₃} : T _{2D₁}	0,025
T _{1D₃} : T _{2D₂}	0,025
T _{1D₃} : T _{2D₃}	0,025
T _{1D₃} : T _{3D₀}	0,025
T _{1D₃} : T _{3D₁}	0,025
T _{1D₃} : T _{3D₂}	0,025
T _{1D₃} : T _{3D₃}	0,025
T _{2D₀} : T _{2D₁}	1,000
T _{2D₀} : T _{2D₂}	0,025
T _{2D₀} : T _{2D₃}	0,025
T _{2D₀} : T _{3D₀}	0,025
T _{2D₀} : T _{3D₁}	0,114
T _{2D₀} : T _{3D₂}	0,114
T _{2D₀} : T _{3D₃}	0,114
T _{2D₁} : T _{2D₂}	1,000
T _{2D₁} : T _{2D₃}	0,025
T _{2D₁} : T _{3D₀}	0,025
T _{2D₁} : T _{3D₁}	0,114
T _{2D₁} : T _{3D₂}	0,114
T _{2D₁} : T _{3D₃}	0,114
T _{2D₂} : T _{2D₃}	1,000
T _{2D₂} : T _{3D₀}	0,025
T _{2D₂} : T _{3D₁}	0,114
T _{2D₂} : T _{3D₂}	0,114
T _{2D₂} : T _{3D₃}	0,114
T _{2D₃} : T _{3D₀}	0,025
T _{2D₃} : T _{3D₁}	0,114
T _{2D₃} : T _{3D₂}	0,114
T _{2D₃} : T _{3D₃}	0,114
T _{3D₀} : T _{3D₁}	0,317
T _{3D₀} : T _{3D₂}	0,317
T _{3D₀} : T _{3D₃}	0,317

T ₃ D ₁ : T ₃ D ₂	1,000
---	-------

T ₃ D ₁ : T ₃ D ₃	1,000
---	-------

T ₃ D ₂ : T ₃ D ₃	1,000
---	-------

Lampiran 16. Tabel Uji Normalitas dan Homogenitas pada Waktu Tumbuh Kalus

1. Uji Normalitas pada Waktu Tumbuh Kalus

Tests of Normality

	Kolmogorov-Smirnov ^a			Shapiro-Wilk		
	Statistic	df	Sig.	Statistic	df	Sig.
Waktu Tumbuh (HST)	,354	48	,000	,771	48	,000

2. Uji Homogenitas pada Waktu Tumbuh Kalus

Test of Homogeneity of Variances

Waktu Tumbuh (HST)

Levene Statistic	df1	df2	Sig.
9,203	15	32	,000

Lampiran 17. Tabel Uji Kruskal-Wallis dan Uji Mann Whitney pada Waktu Tumbuh Kalus

1. Uji Kruskal-Wallis pada Waktu Tumbuh Kalus

Test Statistics^{a,b}

	Waktu tumbuh kalus (HST)
Chi-Square	33,295
Df	15
Asymp. Sig.	,004

2. Uji Mann-Whitney pada Waktu Tumbuh Kalus

Perlakuan	Sig.
T ₀ D ₀ : T ₀ D ₁	0,121
T ₀ D ₀ : T ₀ D ₂	0,037
T ₀ D ₀ : T ₀ D ₃	0,037
T ₀ D ₀ : T ₁ D ₀	1,000
T ₀ D ₀ : T ₁ D ₁	0,025
T ₀ D ₀ : T ₁ D ₂	1,000
T ₀ D ₀ : T ₁ D ₃	1,000
T ₀ D ₀ : T ₂ D ₀	1,000
T ₀ D ₀ : T ₂ D ₁	0,037
T ₀ D ₀ : T ₂ D ₂	0,034
T ₀ D ₀ : T ₂ D ₃	0,034
T ₀ D ₀ : T ₃ D ₀	1,000
T ₀ D ₀ : T ₃ D ₁	0,317
T ₀ D ₀ : T ₃ D ₂	0,317
T ₀ D ₀ : T ₃ D ₃	0,317
T ₀ D ₁ : T ₀ D ₂	0,827
T ₀ D ₁ : T ₀ D ₃	0,275
T ₀ D ₁ : T ₁ D ₀	0,025
T ₀ D ₁ : T ₁ D ₁	0,025
T ₀ D ₁ : T ₁ D ₂	0,025
T ₀ D ₁ : T ₁ D ₃	0,025
T ₀ D ₁ : T ₂ D ₀	0,025
T ₀ D ₁ : T ₂ D ₁	0,275
T ₀ D ₁ : T ₂ D ₂	0,034
T ₀ D ₁ : T ₂ D ₃	0,507
T ₀ D ₁ : T ₃ D ₀	0,121
T ₀ D ₁ : T ₃ D ₁	0,025
T ₀ D ₁ : T ₃ D ₂	0,025
T ₀ D ₁ : T ₃ D ₃	0,025
T ₀ D ₂ : T ₀ D ₃	0,513
T ₀ D ₂ : T ₁ D ₀	0,037
T ₀ D ₂ : T ₁ D ₁	0,037
T ₀ D ₂ : T ₁ D ₂	0,037
T ₀ D ₂ : T ₁ D ₃	0,037
T ₀ D ₂ : T ₂ D ₀	0,037
T ₀ D ₂ : T ₂ D ₁	0,127

T ₀ D ₂ : T ₂ D ₂	0,046
T ₀ D ₂ : T ₂ D ₃	1,000
T ₀ D ₂ : T ₃ D ₀	0,037
T ₀ D ₂ : T ₃ D ₁	0,507
Perlakuan	Sig.
T ₀ D ₂ : T ₃ D ₂	0,507
T ₀ D ₂ : T ₃ D ₃	0,507
T ₀ D ₃ : T ₁ D ₀	0,037
T ₀ D ₃ : T ₁ D ₁	0,487
T ₀ D ₃ : T ₁ D ₂	0,037
T ₀ D ₃ : T ₁ D ₃	0,037
T ₀ D ₃ : T ₂ D ₀	0,037
T ₀ D ₃ : T ₂ D ₁	0,827
T ₀ D ₃ : T ₂ D ₂	0,046
T ₀ D ₃ : T ₂ D ₃	0,268
T ₀ D ₃ : T ₃ D ₀	0,037
T ₀ D ₃ : T ₃ D ₁	0,178
T ₀ D ₃ : T ₃ D ₂	0,268
T ₀ D ₃ : T ₃ D ₃	0,507
T ₁ D ₀ : T ₁ D ₁	0,025
T ₁ D ₀ : T ₁ D ₂	1,000
T ₁ D ₀ : T ₁ D ₃	1,000
T ₁ D ₀ : T ₂ D ₀	1,000
T ₁ D ₀ : T ₂ D ₁	0,037
T ₁ D ₀ : T ₂ D ₂	0,034
T ₁ D ₀ : T ₂ D ₃	0,034
T ₁ D ₀ : T ₃ D ₀	1,000
T ₁ D ₀ : T ₃ D ₁	0,317
T ₁ D ₀ : T ₃ D ₂	0,317
T ₁ D ₀ : T ₃ D ₃	0,317
T ₁ D ₁ : T ₁ D ₂	0,025
T ₁ D ₁ : T ₁ D ₃	0,025
T ₁ D ₁ : T ₂ D ₀	0,025
T ₁ D ₁ : T ₂ D ₁	0,487
T ₁ D ₁ : T ₂ D ₂	0,034
T ₁ D ₁ : T ₂ D ₃	0,034
T ₁ D ₁ : T ₃ D ₀	0,034
T ₁ D ₁ : T ₃ D ₁	0,025

T ₁ D ₁ : T ₃ D ₁	0,025
T ₁ D ₁ : T ₃ D ₂	0,025
T ₁ D ₁ : T ₃ D ₃	0,025
T ₁ D ₂ : T ₁ D ₃	1,000
T ₁ D ₂ : T ₂ D ₀	1,000
T ₁ D ₂ : T ₂ D ₁	0,037
T ₁ D ₂ : T ₂ D ₂	0,034
T ₁ D ₂ : T ₂ D ₃	0,034
Perlakuan	Sig.
T ₁ D ₂ : T ₃ D ₀	1,000
T ₁ D ₂ : T ₃ D ₁	0,317
T ₁ D ₂ : T ₃ D ₂	0,317
T ₁ D ₂ : T ₃ D ₃	0,317
T ₁ D ₃ : T ₂ D ₀	1,000
T ₁ D ₃ : T ₂ D ₁	0,037
T ₁ D ₃ : T ₂ D ₂	0,034
T ₁ D ₃ : T ₂ D ₃	0,034
T ₁ D ₃ : T ₃ D ₀	1,000
T ₁ D ₃ : T ₃ D ₁	0,317
T ₁ D ₃ : T ₃ D ₂	0,317
T ₁ D ₃ : T ₃ D ₃	0,317
T ₂ D ₀ : T ₂ D ₁	0,037
T ₂ D ₀ : T ₂ D ₂	0,034
T ₂ D ₀ : T ₂ D ₃	0,034
T ₂ D ₀ : T ₃ D ₀	1,000
T ₂ D ₀ : T ₃ D ₁	0,317
T ₂ D ₀ : T ₃ D ₂	0,317
T ₂ D ₁ : T ₂ D ₂	0,046
T ₂ D ₁ : T ₂ D ₃	0,105
T ₂ D ₁ : T ₃ D ₀	0,037
T ₂ D ₁ : T ₃ D ₁	0,268
T ₂ D ₁ : T ₃ D ₂	0,268
T ₂ D ₁ : T ₃ D ₃	0,507
T ₂ D ₂ : T ₂ D ₃	0,068
T ₂ D ₂ : T ₃ D ₀	0,034
T ₂ D ₂ : T ₃ D ₁	0,500

T ₂ D ₂ : T ₃ D ₂	0,500
T ₂ D ₂ : T ₃ D ₃	0,500
T ₂ D ₃ : T ₃ D ₀	0,034
T ₂ D ₃ : T ₃ D ₁	0,500
T ₂ D ₃ : T ₃ D ₂	0,500
T ₂ D ₃ : T ₃ D ₃	0,500
T ₃ D ₀ : T ₃ D ₁	0,317
T ₃ D ₀ : T ₃ D ₂	0,317
T ₃ D ₀ : T ₃ D ₃	0,317
T ₃ D ₁ : T ₃ D ₂	0,796
T ₃ D ₁ : T ₃ D ₃	0,796
T ₃ D ₂ : T ₃ D ₃	0,796

Lampiran 18. Tabel Uji Normalitas dan Homogenitas pada Berat Basah Kalus

1. Uji Normalitas pada Berat Basah Kalus

Tests of Normality

	Kolmogorov-Smirnov ^a			Shapiro-Wilk		
	Statistic	Df	Sig.	Statistic	df	Sig.
Berat Basah Kalus	,312	48	,000	,723	48	,000

2. Uji Homogenitas pada Berat Basah Kalus

Test of Homogeneity of Variances

Berat Basah Kalus

Levene Statistic	df1	df2	Sig.
4,273	15	32	,000

Lampiran 19. Uji Kruskal-Wallis dan Uji Mann Whitney pada Berat Basah Kalus

1. Uji Kruskal-Wallis pada Berat Basah Kalus

Test Statistics^{a,b}

	Berat Basah Kalus
Chi-Square	39,098
Df	15
Asymp. Sig.	,001

2. Uji Mann-Whitney pada Berat Basah Kalus

Perlakuan	Sig.	Perlakuan	Sig.	Perlakuan	Sig.
T ₀ D ₀ : T ₀ D ₁	0,121	T ₀ D ₂ : T ₂ D ₁	0,046	T ₁ D ₁ : T ₂ D ₃	0,46
T ₀ D ₀ : T ₀ D ₂	0,037	T ₀ D ₂ : T ₂ D ₂	0,275	T ₁ D ₁ : T ₃ D ₀	0,317
T ₀ D ₀ : T ₀ D ₃	0,034	T ₀ D ₂ : T ₂ D ₃	0,376	T ₁ D ₁ : T ₃ D ₁	0,037
T ₀ D ₀ : T ₁ D ₀	1,000	T ₀ D ₂ : T ₃ D ₀	0,037	T ₁ D ₁ : T ₃ D ₂	1,000
T ₀ D ₀ : T ₁ D ₁	0,317	T ₀ D ₂ : T ₃ D ₁	0,046	T ₁ D ₁ : T ₃ D ₃	1,000
T ₀ D ₀ : T ₁ D ₂	1,000	Perlakuan	Sig.	T ₁ D ₂ : T ₁ D ₃	1,000
T ₀ D ₀ : T ₁ D ₃	1,000	T ₀ D ₂ : T ₃ D ₂	0,046	T ₁ D ₂ : T ₂ D ₀	1,000
T ₀ D ₀ : T ₂ D ₀	1,000	T ₀ D ₃ : T ₁ D ₀	0,034	T ₁ D ₂ : T ₂ D ₁	0,037
T ₀ D ₀ : T ₂ D ₁	0,037	T ₀ D ₃ : T ₁ D ₁	0,043	T ₁ D ₂ : T ₂ D ₂	0,037
T ₀ D ₀ : T ₂ D ₂	0,037	T ₀ D ₃ : T ₁ D ₂	0,034	Perlakuan	Sig.
T ₀ D ₀ : T ₂ D ₃	0,037	T ₀ D ₃ : T ₁ D ₃	0,034	T ₁ D ₂ : T ₃ D ₀	1,000
T ₀ D ₀ : T ₃ D ₀	1,000	T ₀ D ₃ : T ₂ D ₀	0,034	T ₁ D ₂ : T ₃ D ₁	0,317
T ₀ D ₀ : T ₃ D ₁	0,317	T ₀ D ₃ : T ₂ D ₁	0,046	T ₁ D ₂ : T ₃ D ₂	0,317
T ₀ D ₀ : T ₃ D ₂	0,317	T ₀ D ₃ : T ₂ D ₂	0,246	T ₁ D ₂ : T ₃ D ₃	0,317
T ₀ D ₀ : T ₃ D ₃	0,317	T ₀ D ₃ : T ₂ D ₃	0,268	T ₁ D ₃ : T ₂ D ₀	1,000
T ₀ D ₁ : T ₀ D ₂	0,037	T ₀ D ₃ : T ₃ D ₀	0,034	T ₁ D ₃ : T ₂ D ₁	0,037
T ₀ D ₁ : T ₀ D ₃	0,046	T ₀ D ₃ : T ₃ D ₁	0,043	T ₁ D ₃ : T ₂ D ₂	0,037
T ₀ D ₁ : T ₁ D ₀	0,025	T ₀ D ₃ : T ₃ D ₂	0,043	T ₁ D ₃ : T ₂ D ₃	0,037
T ₀ D ₁ : T ₁ D ₁	0,246	T ₀ D ₃ : T ₃ D ₃	0,043	T ₁ D ₃ : T ₃ D ₀	1,000
T ₀ D ₁ : T ₁ D ₂	0,025	T ₁ D ₀ : T ₁ D ₁	0,317	T ₁ D ₃ : T ₃ D ₁	0,317
T ₀ D ₁ : T ₁ D ₃	0,025	T ₁ D ₀ : T ₁ D ₂	1,000	T ₁ D ₃ : T ₃ D ₂	0,317
T ₀ D ₁ : T ₂ D ₀	0,025	T ₁ D ₀ : T ₁ D ₃	1,000	T ₁ D ₃ : T ₃ D ₃	0,317
T ₀ D ₁ : T ₂ D ₁	0,513	T ₁ D ₀ : T ₂ D ₀	1,000	T ₂ D ₀ : T ₂ D ₁	0,037
T ₀ D ₁ : T ₂ D ₂	0,037	T ₁ D ₀ : T ₂ D ₁	0,037	T ₂ D ₀ : T ₂ D ₂	0,037
T ₀ D ₁ : T ₂ D ₃	0,50	T ₁ D ₀ : T ₂ D ₂	0,037	T ₂ D ₀ : T ₂ D ₃	0,037
T ₀ D ₁ : T ₃ D ₀	0,121	T ₁ D ₀ : T ₂ D ₃	0,037	T ₂ D ₀ : T ₃ D ₀	1,000
T ₀ D ₁ : T ₃ D ₁	0,025	T ₁ D ₀ : T ₃ D ₀	1,000	T ₂ D ₀ : T ₃ D ₁	0,317
T ₀ D ₁ : T ₃ D ₂	0,246	T ₁ D ₀ : T ₃ D ₁	0,317	T ₂ D ₀ : T ₃ D ₂	0,317
T ₀ D ₁ : T ₃ D ₃	0,246	T ₁ D ₀ : T ₃ D ₂	0,700	T ₂ D ₀ : T ₃ D ₃	0,317
T ₀ D ₂ : T ₀ D ₃	0,825	T ₁ D ₀ : T ₃ D ₃	0,317	T ₂ D ₁ : T ₂ D ₂	0,050
T ₀ D ₂ : T ₁ D ₀	0,037	T ₁ D ₁ : T ₁ D ₂	0,317	T ₂ D ₁ : T ₂ D ₃	0,184
T ₀ D ₂ : T ₁ D ₁	0,046	T ₁ D ₁ : T ₁ D ₃	0,317	T ₂ D ₁ : T ₃ D ₀	0,037
T ₀ D ₂ : T ₁ D ₂	0,037	T ₁ D ₁ : T ₂ D ₀	0,317	T ₂ D ₁ : T ₃ D ₁	0,268
T ₀ D ₂ : T ₁ D ₃	0,037	T ₁ D ₁ : T ₂ D ₁	0,12	T ₂ D ₁ : T ₃ D ₂	0,121
T ₀ D ₂ : T ₂ D ₀	0,037	T ₁ D ₁ : T ₂ D ₂	0,46	T ₂ D ₁ : T ₃ D ₃	0,121

T ₂ D ₂ : T ₂ D ₃	0,127
T ₂ D ₂ : T ₃ D ₀	0,037
T ₂ D ₂ : T ₃ D ₁	0,046
T ₂ D ₂ : T ₃ D ₂	0,046
T ₂ D ₂ : T ₃ D ₃	0,046

T ₂ D ₃ : T ₃ D ₀	0,037
T ₂ D ₃ : T ₃ D ₁	0,121
T ₂ D ₃ : T ₃ D ₂	0,046
T ₂ D ₃ : T ₃ D ₃	0,046
T ₃ D ₀ : T ₃ D ₁	0,317

T ₃ D ₀ : T ₃ D ₂	0,317
T ₃ D ₀ : T ₃ D ₃	0,317
T ₃ D ₁ : T ₃ D ₂	0,025
T ₃ D ₁ : T ₃ D ₃	0,025
T ₃ D ₂ : T ₃ D ₃	1,000